

II-4 河床砂の分級作用について

京都大学防災研究所 正会員・芦田和男

同 同 道上正規

1. はじめに：河床砂の分級過程は、ある粒度構成を持つ生産土砂が流水と粒との特性との関係において分けられる過程と解することができる、河川の実態を把握する上に重要な問題である。こうした問題に対する実験的研究は非常に重要であるが、粒度構成は局所的な効果によってかなり変動すること、支川からの流入土砂が分級の過程に与える影響がかなり大きいことなどのために、その実態の解明は非常に困難であって、こうした問題に対する実験的研究も非常に重要なになってくる。分級作用は、粒との移動限界流速の相異、運動型の相異あるいは沈降速度の相異によるものに分けられるが、後の二者については浮遊砂が重要な役割を演することは明らかである。そこで本論文においては、浮遊砂がかなり多い場合を対象として、上流から supplyされる一定の粒度構成を持つ砂が水路幅の変化に応じてどのように分けられるかについて実験的研究を行はり、平衡状態の場合における粒度分布についての理論式を提案し、これにちとづいて上の実験結果について考察を加え浮遊砂による分級作用を明らかにしようとするのである。

2. 浮遊砂を伴なう場合の河床砂の粒度変化に関する実験：実験は、上流区間20mは幅40cm、下流区間30mは幅80cmの水路にあって、上流から河床砂と同一の粒度分布を持つ砂と33.3%の割合でよい、流量10%，初期河床こう配1/300の条件で行はった。水面こう配、濃度分布、河床砂の粒度分布が時間的にどのように変化していくかを測定するとともに、水路下流端において生産砂量を測定した。水面こう配の時間的変化は、図-1のとおりであって、水路幅の広い下流側の方が水面こう配は急になるが、T=8 hr. 程度ではほぼ平衡状態に到達しているものと思われる。下流端における採砂量はT=4 hr. において23.3 g/s, T=8 hr. において33.3%でこの点からもほぼ平衡状態であることが知られる。一方、T=8 hr. における河床砂、粒砂あるいは下流端において採取される粒度分布が、粒砂のそれと比べて小さいことから、見かけ上は平衡状態に達していふように見えるが、実はこの水路の中にあって粒度の交換が進行していることが知られる。河床砂のW_mあるいはW_dについての距離(T=8 hr.)あたりの時間的变化を示すとそれと図-3 および図-4 のとおりであり、下流側の水路幅の広い方にあっては、粒度構成がまた変化してあり、粒との交換が進行しているものと思われる。

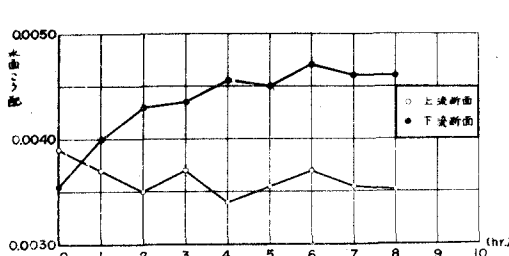


図-1 こう配の時間的変化

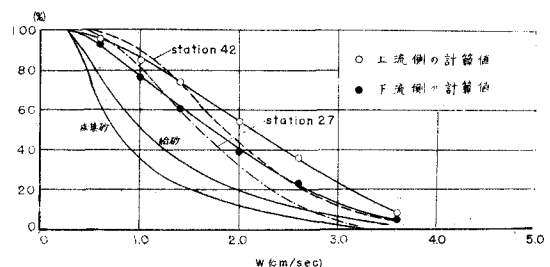


図-2 河床砂、粒砂、下流側砂の粒度分布あるいは粒度分布の算定値

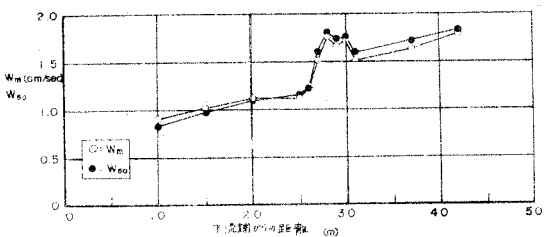


図-3 河床砂の W_m あるいは W_{s0} の距離的変化

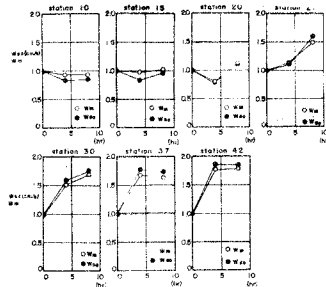


図-4 河床砂の W_m あるいは W_{s0} の時間的変化

3. 粒度変化に関する考察：上述のごとく粒度構成の時間的変化がなくはないまでには非常に長時間を要し、実際問題として重要なのはその過渡的な状態であるが、ここでは極限状態すなわち粒度構成も河床高も変化しない平衡状態を想定して、幅の変化に応じて粒度構成がどのようになるかを検討する。この際浮遊砂量式が重要なとなるが、現在検討中である。しかし著者の今までの実験結果によれば、

$$i_s g_s / i_B g_B = f \left(\frac{W_{s0}}{U_*} \right) \quad (1)$$

の形で表わされる。ここに g_s は佐藤一吉川一芦田式を用いて計算したものである。さらに一般的には、 K 、 η_{B0}/K_0 、 d/f などのParameterを導入する必要があると考えられ、とくに wash load を多く含む実際河川の場合には、 K の減少によって、図-5の関係とは異なってくることを予想されるが、ここでは図-5の関係を使用する。平衡状態においては、各種候範囲ごとに、流砂の連続性が保たれなければならぬ。この粒度の分割を r 個とすれば、

$$\sum_{i=1}^r i_{bi} = 1 \quad (2)$$

$$B i_{bi} \varphi \frac{U_*^3}{(\frac{\xi}{\delta} - 1) g} F \left(\frac{T_0}{T_c} \right) \left[f \left(\frac{W_{s0}}{U_*} \right) + 1 \right] = i_{bi} Q_{T_0} \quad (3)$$

となる。ここで i_s 、 i_B 、 i_b 、 i_{bi} はそれぞれ浮遊砂、掃流砂、河床砂あるいは輸送にありて、粒径 d (粒度 W_{s0}) の種子の占める割合を示す。ここでは $i_b = i_B$ とした。式より、

$$U_* = \left| \frac{Q_{T_0}}{B g F \left(\frac{T_0}{T_c} \right)} \left(\frac{\xi}{\delta} - 1 \right) g \right|^{\frac{1}{3}} \left\{ \sum_{i=1}^r \frac{i_{bi}}{1 + f \left(\frac{W_{s0}}{U_*} \right) + 1} \right\}^{\frac{1}{3}} \quad (4)$$

となる。したがって i_{bi} は

$$i_{bi} = \frac{i_{bi} / \left\{ f \left(\frac{W_{s0}}{U_*} \right) + 1 \right\}}{\sum_{i=1}^r i_{bi} / \left\{ f \left(\frac{W_{s0}}{U_*} \right) + 1 \right\}} \quad (5)$$

となる。(4)、(5)式より幅の変化に応じて河床の粒度分布がどのように変化するかを知ることができる。計算結果と実測値の比較は図-2に示したとおりであつて、その一致は十分とはいえないが、粒砂の粒度構成が幅の変化に応じて筋分けられる過程をかなりよく説明している。

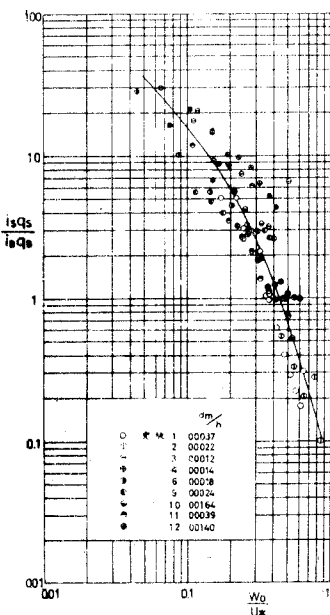


図-5 $i_s g_s / i_B g_B \sim W_{s0} / U_*$ の関係